

УДК 550.42

ПРОИСХОЖДЕНИЕ, МЕСТА НАХОЖДЕНИЯ И ПОДВИЖНОСТЬ ИЗОТОПОВ ГЕЛИЯ И АРГОНА В МЕЛИФАНИТЕ

Л. М. Лялина*, И. Л. Каменский, И. Н. Толстихин

Представлено академиком РАН И.В. Чернышевым 14.06.2018 г.

Поступило 18.06.2018 г.

Измеренные содержания U, Th и ^{4}He в мелифаните соответствуют возрасту метаморфизма (1800 млн лет), что как будто бы свидетельствует о хорошей сохранности радиогенного ^{4}He в минерале, но противоречит опыту U–Th– ^{4}He -датирования. Для анализа этого результата была определена сохранность ^{3}He , которая оказалась весьма низкой, около 2%. Изотопы $^{3,4}\text{He}$ находятся в радиационных треках, пересечение которых с плоскостями спайности обеспечивает их миграцию из минерала. Поэтому и ^{4}He , возникший при распаде U и Th, должен был быть практически полностью потерян. Мелифантит содержит захваченный He, находящийся, вероятно, в специфических объемах его кристаллической структуры. Опыт по экстракции изотопов He из мелифанита при его нагреве в вакууме подтвердил этот вывод. Применение одной U–Th– ^{4}He -системы для датирования (как это часто делается в термохронологии) может привести к ошибочным результатам. Для идентификации происхождения гелия в минералах следует использовать оба изотопа, ^{3}He и ^{4}He .

Ключевые слова: гелий, аргон, изотопы, происхождение, подвижность, размещение в кристаллической структуре, мелифантит.

DOI: <https://doi.org/10.31857/S0869-56524883303-306>

В подавляющем большинстве публикаций, посвящённых изотопии гелия, рассматривается вклад мантийного He в исследуемые образцы (пород, газов, подземных вод). В данной работе показано, что анализ радиогенных изотопов ^{3}He и ^{4}He так же является полезным. Сопоставление их концентраций, мест нахождения и подвижности позволяет понять их происхождение в минерале, выявить специфические свойства кристаллической решётки вещества, контролирующие миграцию газов и доступные для них объёмы, составить представление о процессах миграции газов в системе минерал–поровый флюид.

Благородные газы (БГ) являются наиболее информативными и широко используемыми трассерами природных флюидов [1]. Как правило, минералы содержат радиогенные, возникшие *in situ*, и захваченные БГ. Эти два компонента занимают разные места в минерале: радиогенные изотопы пространственно связаны с родительскими радиоактивными элементами, а захваченные газы – с газово-жидкими микровключениями, дефектами или особенностями структуры минерала. Различие мест нахождения во многих случаях позволяет выделить эти компоненты, используя разные методы экстракции газов.

Геологический институт Кольского научного центра Российской Академии наук, Апатиты Мурманской обл.

*E-mail: lialina@geoksc.apatity.ru

Захваченные БГ позволяют изучать: 1) процессы, ответственные за их проникновение в минерал [2, 3]; 2) происхождение захваченной минералом флюидной компоненты [4, 5]; 3) некоторые свойства минерала, такие как проницаемость, доступные для газа внутренние объёмы, диффузионные параметры его кристаллической решётки [3, 6].

Радиогенные изотопы используются для определения возраста минерала или времени закрытия изотопной системы в термохронологии [7]. Кроме того, их можно рассматривать как нано-трассеры, миграция которых позволяет понять некоторые свойства вмещающего их материала и его эволюцию [3, 8, 9]. Особенно интересен в этом отношении He, отличающийся аномально высокой подвижностью в силикатах.

Эти соображения и подходы были впервые использованы для расшифровки происхождения изотопов He и Ar в редком силикате бериллия – мелифантите. В задачи работы входили оценка подвижности изотопов He в мелифантите, определение мест нахождения ^{3}He , ^{4}He и $^{40}\text{Ar}^*$ в минерале и реконструкция миграции БГ в системе минерал–флюид.

Мелифантит $\text{Ca}_4(\text{Na}, \text{Ca})_4\text{Be}_4\text{AlSi}_7\text{O}_{24}(\text{F}, \text{O})_4$ существует в пегматитовом теле нефелин-полевошпатового состава, развитом на контакте щелочных габброидов и нефелиновых сиенитов, а также в окружающих пегматит слюдитах, массив Сахарийок, Кольский полуостров. Мелифантит представлен таблитчатыми кристаллами и порфиробластами (раз-

мером до 50 мм), ксеноморфными зёрнами, часто с многочисленными включениями слюды и пироксенов.

В основе структуры мелифанита лежат слои, образованные прочно связанными друг с другом тетраэдрами $[SiO_4]$, $[AlO_4]$ и $[Be(O,F)_4]$. Эти слои соединяются в трёхмерную кристаллическую постройку менее прочно связанными щелочными и щёлочноземельными катионами натрия и кальция. Тетраэдрические слои характеризуются средними межатомными расстояниями $1,6\text{--}1,7 \text{ \AA}$, а соединяющие их катионные слои с Na и Ca значительно большими значениями средних длин связей — до $2,5 \text{ \AA}$. В пределах тетраэдрического слоя могут быть выделены пятичленные кольца с ещё большим диаметром. Таким образом, атомы He и других БГ размером менее 2 \AA могут размещаться как в катионном слое, так и в пределах пятичленных колец тетраэдрических слоев. Слоистый характер структуры мелифанита с менее прочными связями между слоями обуславливают его совершенную спайность.

Уран-свинцовый возраст циркона из нефелиновых сиенитов массива определён в $2610\text{--}2680$ млн лет; возраст метаморфизма — $1770\text{--}1820$ млн лет [10].

Использованные методики экстракции и измерения концентраций изотопов He и Ar из минералов приведены в [3].

Концентрация возникшего *in situ* 4He $4,88 \times 10^{-8}$ моль g^{-1} рассчитанная исходя из содержаний U ($1,3 \text{ g} \cdot \text{t}^{-1}$), Th ($14 \text{ g} \cdot \text{t}^{-1}$) и возраста метаморфизма в предположении, что $U\text{--}Th\text{--}^4He$ -система оставалась закрытой, близка к измеренному содержанию, $4,5 \cdot 10^{-8}$ моль g^{-1} . Соответственно, $U\text{--}Th\text{--}^4He$ -возраст, $1,66 \cdot 10^9$ лет, оказался близким к возрасту метаморфизма. При дроблении освобождается малая часть содержащегося в минерале 4He , около 0,03, а отношения изотопов He , выделенного дроблением или плавлением образца, идентичны, $^3He/^4He = (1 \pm 0,2) \cdot 10^{-8}$, и не отличаются от типичного терригенного He земной коры. Эти данные $U\text{--}Th\text{--}^4He$ -системы как будто бы свидетельствуют о хорошей сохранности 4He в минерале и его пригодности для датирования.

Сравнение измеренных и рассчитанных концентраций 3He приводит к принципиально другому заключению. Радиогененный 3He возникает в экзотермической (около 5 МэВ) реакции теплового нейтрона с ядром лёгкого изотопа лития: $^6Li(n,\alpha)^3H \rightarrow \beta^- \rightarrow ^3He$ ($\tau_3 = 10,2$ года). Вмещающие мелифанит щелочные породы характеризуются высокими содержаниями $U = 30415,5$ и $Th = 59,1 \text{ g} \cdot \text{t}^{-1}$. Средний рассчитанный нейтронный поток в этих породах достигал 15 ней-

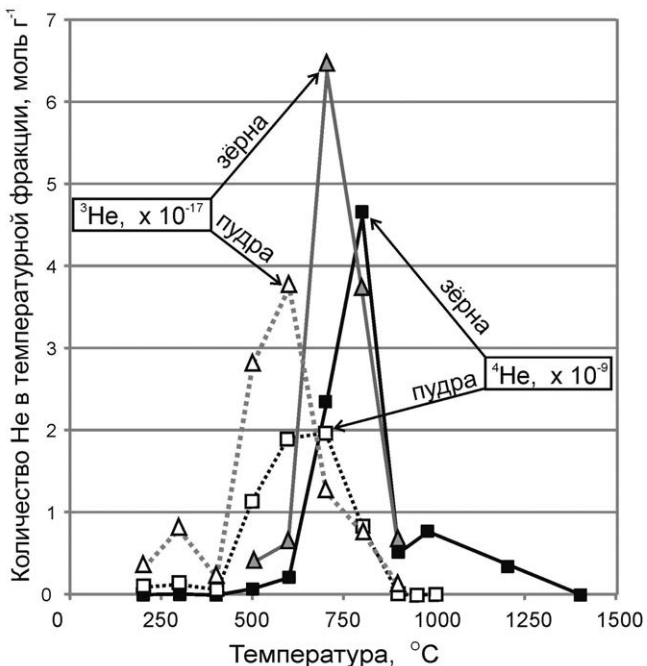


Рис. 1. Выделение изотопов He из мелифанита при ступенчатом нагреве зёрен и раздробленного образца (пудры) в вакууме. Время экспозиции при каждой температуре 60 мин. Различие в количествах выделившегося He обусловлено разными навесками минерала, использованными в экспериментах. Выделение 3He из зёрен и пудры происходит при более низкой температуре, чем 4He . Различие температур выделения “чисто радиогенного” 3He и захваченного “чисто терригенного” 4He должно быть больше наблюдаемого на рисунке. В минерале также присутствует терригенный 3He , захваченный вместе с 4He , и радиогенный 4He , небольшая часть которого должна была сохраняться в минерале, что уменьшает разницу температур до установленной в эксперименте.

tron $\cdot \text{см}^{-2} \cdot \text{сутки}^{-1}$. При таком потоке за $1,8 \cdot 10^9$ лет (возраст метаморфизма) в богатом Li мелифаните ($Li = 340 \text{ g} \cdot \text{t}^{-1}$) должно было образоваться $^3He = 3,5 \cdot 10^{-14}$ моль $\cdot \text{г}^{-1}$, что в 50 раз (!) больше измеренного содержания $^3He = 6,5 \cdot 10^{-16}$ моль $\cdot \text{г}^{-1}$. Рассчитанное отношение $^3He/^4He \approx 7 \cdot 10^{-7}$ в мелифаните также оказалось в 70 раз выше измеренного. При этом суммарная погрешность расчёта [11] и измерения концентраций 3He [3] близка к $\pm 30\%$.

Для выяснения причины расхождения между наблюдаемыми и рассчитанными концентрациями 3He и 4He было выполнено исследование подвижности изотопов He в минерале методом ступенчатого нагрева в вакууме. Температура выделения 3He из зёрен и из раздробленного минерала заметно ниже, чем 4He (рис. 1). Это обстоятельство указывает на различие мест нахождения 3He и 4He в мелифаните. Исходя из приведённой выше экзотермической ре-

акции образования ^3He , следует, что ^3He находится в радиационных треках, длина которых близка к 20 мкм. Треки пересекают слои структуры минерала, обеспечивая сток атомов ^3He вдоль плоскостей спайности (время жизни атома Не в открытом треке близко к 1 году [12]) и почти полные потери радиогенного ^3He . Но и возникший *in situ* при α -распаде U и Th радиогенный ^4He также находился в радиационных треках и так же, как ^3He был практически полностью потерян аналогичным образом. Минералы, характеризующиеся слоистой структурой и совершенной спайностью, как правило, почти полностью теряют оба радиогенных изотопа: и ^3He , и ^4He [13]. Таким образом, присутствующий в мелифаните ^4He , во-первых, является захваченным из окружающей среды (а не образовавшимся *in situ*), во-вторых, располагается не в треках, а в доступных объемах кристаллической структуры, в-третьих, близость U–Th–Не-возраста к возрасту метаморфизма – случайное совпадение.

Отношения $^4\text{He} / ^{40}\text{Ar}^*$ в мелифаните позволяют осветить процесс захвата гелия. Низкая концентрация K_2O в минерале (0,041 мас.%) и плохая сохранность радиогенного $^{40}\text{Ar}^*$ (менее 50%) обеспечили низкую концентрацию этого изотопа. При дроблении выделяется около 50% сохранившегося в минерале $^{40}\text{Ar}^*$. Столь высокие потери и подвижность $^{40}\text{Ar}^*$ обусловлены, по всей видимости, положением атомов K в “слабых” (cationных) слоях структуры мелифанита, где он замещает Na. В температурных фракциях при ступенчатом нагреве зёрен минерала наблюдались аномально высокие отношения $^4\text{He} / ^{40}\text{Ar}^*$ до ≈ 6000 , при валовом значении 1600. Поскольку $^{40}\text{Ar}^*$ (по крайней мере, частично) возник *in situ* в минерале, в захваченных газах отношение $^4\text{He} / ^{40}\text{Ar}^*$ должно быть ещё выше. Эти значения в сотни раз превышают среднее отношение, в котором радиогенные изотопы ^4He и $^{40}\text{Ar}^*$ генерируются в породах земной коры (≈ 6); в природных флюидах $^4\text{He} / ^{40}\text{Ar}^*$ обычно варьируется в пределах от 4 до 20. Различие между наблюдаемыми в мелифаните и типичными для флюидов отношениями $^4\text{He} / ^{40}\text{Ar}^*$ объясняется преобладающей миграцией Не из порового флюида в минерал по проницаемым для Не (но “закрытым” для Ar) “каналам”, как было показано ранее в [3]. Кационные слои и пятичленные кольца тетраэдрических слоёв могут являться доступными для Не объёмами в мелифаните.

В заключение отметим, что анализ U–Th–Li– ^4He – ^3He - и K– $^{40}\text{Ar}^*$ -изотопных систем впервые выполненный в редком бериллосиликате – мелифаните, показал:

1. Для идентификации происхождения изотопов Не в минералах следует использовать оба изотопа ^3He и ^4He ; применение одной U–Th– ^4He -системы для датирования (как это часто делается в термохронологии) может привести к ошибочным результатам.

2. Обладающий совершенной спайностью мелифанит почти полностью потерял оба радиогенных, возникших *in situ* изотопа ^3He и ^4He . Захваченный мелифанитом Не с отношением изотопов $^3\text{He} / ^4\text{He} = 1 \cdot 10^{-8}$, близким к типичному для Не земной коры, не имеет отношения к содержащимся в минерале U, Th и Li.

3. Аномально высокое отношение $^4\text{He} / ^{40}\text{Ar}^* > 1600$ в мелифаните свидетельствует о том, что гелий мигрировал в уже сформировавшийся минерал по проницаемым только для гелия “каналам” и находится в специфических объемах кристаллической структуры. Это объясняет весьма малые потери Не при дроблении минерала.

Благодарности. Авторы признательны Е.А. Селивановой и Д.Р. Зозуле за содействие в подготовке этой работы.

Источники финансирования. Работа выполнена при поддержке РФФИ (проекты № 16–05–00427, 16–05–00756).

СПИСОК ЛИТЕРАТУРЫ

1. *Burnard P.E. The Noble Gases as Geochemical Tracers.* Heidelberg: Springer, 2013. 391 p.
2. *Sherlock S., Kelley S.P. Excess Argon Evolution in HP-LT Rocks: a UVLAMP Study of Phengite and K-Free Minerals, NW Turkey // Chem. Geol.* 2002. V. 182. P. 619–636.
3. *Tolstikhin I., Waber H.N., Kamensky I., Loosli H.H., Skiba V., Gannibal M. Production, Redistribution and Loss of Helium and Argon Isotopes in a Thick Sedimentary Aquitard-Aquifer System (Molasse Basin, Switzerland) // Chem. Geol.* 2011. V. 286. P. 48–58.
4. *Graham D.W. Noble Gas Isotope Geochemistry of Mid-Ocean Ridges and Ocean Island Basalts: Characterization of Mantle Source Reservoirs. In: Noble Gases in Geochemistry and Cosmochemistry.* Wash.: Mineral. Soc. Amer., 2002. P. 247–318.
5. Каменский И.Л., Скиба В.И. Определение генезиса декрепитирующих и недекрепитирующих микропключений в минералах горных пород путем изучения изотопов гелия и аргона // Геохимия. 2011. № 1. С. 50–58.
6. *Baxter E.F. Diffusion of Noble Gases in Minerals // Rev. Miner. Geochem.* 2010. V. 72. P. 509–557.
7. *McDougall I., Harrison T.M. Geochronology and Thermochronology by the $^{40}\text{Ar} / ^{39}\text{Ar}$ Method.* 2-nd ed. Oxford: Oxford Univ. Press, 1999. 212 p.

8. Trull T.W., Kurz M.D. Experimental Measurements of ^3He and ^4He Mobility in Olivine and Clinopyroxene at Magmatic Temperatures // *Geochim. Cosmochim. Acta*. 1993. V. 57. P. 1313–1324.
9. Tolstikhin I., Kamensky I., Tarakanov S., Kramers J., Pe-kala M., Skiba V., Gannibal M., Novikov D. Noble Gas Isotope Sites and Mobility in Mafic Rocks and Olivine // *Geochim. Cosmochim. Acta*. 2010. V. 74. P. 1436–1447.
10. Ветрин В.Р., Скублов С.Г., Балашов Ю.А., Лялина Л.М., Родионов Н.В. Время образования и генезис иттрий-циркониевого оруденения массива Сахарийок, Кольский полуостров // Записки РМО. 2014. № 2. С. 1–22.
11. Горшков Г.В., Зябкин В.А., Лятковская Н.М., Цветков О.С. Естественный нейтронный фон атмосферы и земной коры. М.: Атомиздат, 1966. 410 с.
12. Tolstikhin I.N., Lehmann B.E., Loosli H.H., Kamen-sky I.L., Nivin V.A., Orlov S.P., Ploschansky L.M., Tokarev I.V., Gannibal M.A. Radiogenic Helium Isotope Fractionation: The Role of Tritium as ^3He Precursor: Geochemical Applications // *Geochim. Cosmochim. Acta*. 1999. V. 63. P. 1605–1611.
13. Герлинг Е.К., Толстихин И.Н., Друбецкой Е.Р., Лев-ковский Р.З., Шарков Е.В., Козаков Л.К. Изотопы гелия и аргона в породообразующих минералах // Геохимия. 1976. № 11. С. 1603–1611.

ORIGIN, SITES AND MOBILITY OF HELIUM AND ARGON ISOTOPES IN MELIPHANITE

L. M. Lyalina, I. L. Kamensky, I. N. Tolstikhin

*Geological Institute, Kola Science Centre, Russian Academy of Sciences, Apatity,
Murmansk region, Russian Federation*

Presented by Academician of the RAS I.V. Chernyshev June 14, 2018

Presented June 18, 2018

The similarity of U-Th- ^4He age of meliphanite and the age of regional metamorphism (1800 Ma) seems to indicate a good retention of radiogenic ^4He in the mineral, but contradicts with the experience of U-Th- ^4He dating. To analyze this result ^3He concentration was measured, which appeared to be very low, about 2 % of the totally produced ^3He . Radiogenic $^{3,4}\text{He}$ isotopes occupier radiation tracks. Intersections of these tracks with cleavage planes provide migration of He atoms from the mineral and ^4He , produced due to U and Th decay, should be almost completely lost. Instead, meliphanite contains trapped He occurring in specific cavities of the crystalline structure. Extraction of He isotopes from meliphanite by its step-wise heating in vacuum confirmed this conclusion. Using U-Th- ^4He system for dating (as it is often done in thermochronology) can lead to incorrect results. Both isotopes, ^3He and ^4He , should be used to identify the origin of helium in minerals.

Keywords: helium, argon, isotopes, origin, mobility, localities in crystal structure, meliphanite.